

# 포틀랜드 시멘트와 주요 水硬性 化合物

崔 相 紘

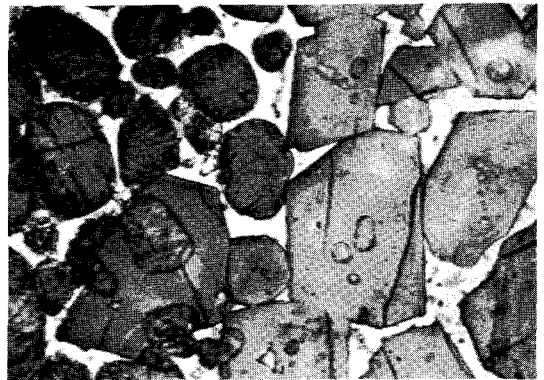
〈漢陽大學校教授·工博〉

## 1. 포틀랜드 시멘트 크링카

포틀랜드 시멘트 크링카를 구성하는 화합물에 대한 연구는 여러 측정기기의 개발과 함께 많은 진전을 보였다.<sup>1) 2)</sup> 1882년 A. E. Törnebohn에 의하여 편광현미경에 의한 크링카 관찰로 alite, belite 등이 명명된 이래 1930년대의 F. M. Lee, T. W. Parker 등에 의한 상평형 관계 연구와 크링카 광물의 화학조성 연구 및 합성 등 크링카에 대한 많은 연구는 크링카 광물 연구의 기초를 이루었으며 1950년대의 T. W. Jeffery에 의한 결정구조 연구를 시작으로 1960년대 말에서 1970년대에 이르는 A. Guineir, M. Regourd, G. Yamaguchi, I. Maki 등의 연구로 크링카 광물들의 온도변태, 고용변태, 변태전이에 따른 결정구조의 변화와 이에 따른 수화 활성 등이 밝혀지고 있다.

포틀랜드 시멘트 크링카의 성분은 대략 CaO 67%, SiO<sub>2</sub> 22%, Al<sub>2</sub>O<sub>3</sub> 5%, Fe<sub>2</sub>O<sub>3</sub> 3% 및 기타 성분으로 그들이 구성하는 주광물상은 C<sub>3</sub>S가 주성분인 alite, C<sub>2</sub>S가 주성분인 belite, C<sub>4</sub>A가 주성분인 aluminat 상 및 C<sub>4</sub>AF로 대표되고 있는 ferrite 상과 그 외에 alkalisulfate, calcium oxide 등이 약간 존재한다.

〈그림-1〉의 반사현미경 사진에서 6각형 모양의 결정이 alite이고 둥근 모양의 결정이 belite이며 alite와 belite의 결정 사이를 메우고 있는 것이 간극상(interstitial phase)으로, 밝게 보이는 부분이



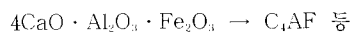
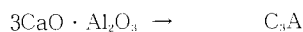
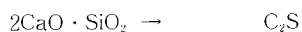
〈그림-1〉 Polished surface of Portland cement clinker

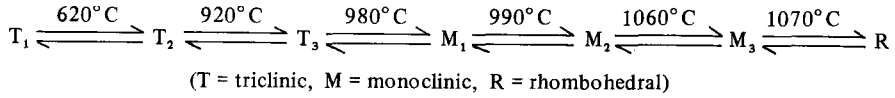
ferrite상(ferrite phase)이며 어둡게 보이는 부분이 알루미늄네이트상(aluminate phase)인데 급냉한 크링카에는 이 간극상에 상당량의 유리상(glass phase)도 포함되어 있다.

## 2. Alite

포틀랜드 시멘트 크링카에서 가장 많은 양을 차지하고 있는 alite는 C<sub>3</sub>S를 주성분으로 한 고용체로서 액상을 통한 고상반응으로 크링카 생성반응의 최종 단계에서 생성한다.<sup>3)</sup> 순수한 C<sub>3</sub>S에는 triclinic

\* 시멘트화학의 관례에 따라 다음과 같이 약기한다.

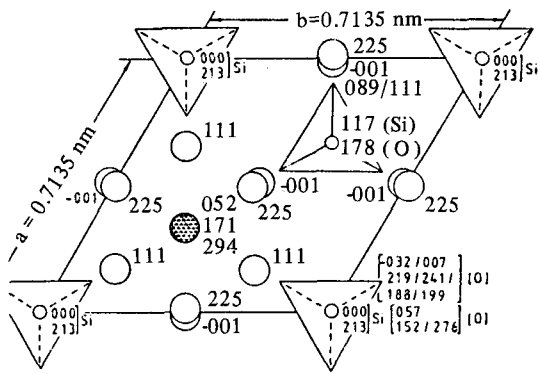




T<sub>1</sub>, T<sub>2</sub>, T<sub>3</sub>, monoclinic M<sub>1</sub>, M<sub>2</sub>, M<sub>3</sub>, rhombohedral R의 7개 온도 변화가 알려져 있다.

C<sub>3</sub>S의 안정영역은 1,250~2,150°C로 1,250°C 이하에서는 불안정하여 C<sub>2</sub>S와 CaO로 분해하나 이 분해반응은 아주 느리므로 C<sub>3</sub>S는 상온까지 생각된다.

C<sub>3</sub>S의 결정구조는 가장 대칭성이 좋은 고온 안정형의 R이 기본이다. <그림-2>는 1,200°C의 R의 결정구조를 나타낸 것이다.<sup>4)</sup> C<sub>3</sub>S는 Ca<sup>2+</sup>, SiO<sub>4</sub><sup>4-</sup> 이온 등으로 구성되어 있는데 단위격자 중에는 3종류의 SiO<sub>4</sub> 사면체가 존재하며 SiO<sub>4</sub> 사면체 중의 하나의 산소는 약간 편위되어 있고 3종류의 SiO<sub>4</sub> 사면체 중 한 종류는 역전되어 있으며 그 비율은 70%이

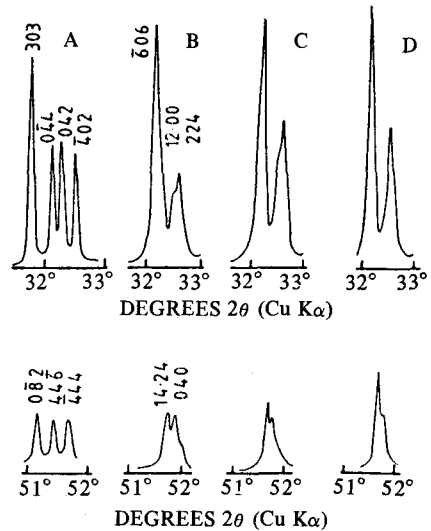


<그림-2> Crystal structure of the R modification of C<sub>3</sub>S,<sup>4)</sup> and showing calcium atoms (large, open circles), silicon atoms (small, open circles), oxide ions (large, hatched circle) and oxygen tetrahedra (triangles).

다.

C<sub>3</sub>S의 다른 다형의 결정구조는 R과 유사하며 R의 구조가 약간 이그러진 상태로 상 전이에 따른 에너지 변화는 적은 것이 보통이며 M<sub>3</sub>의 존재는 열분석적으로 확인되지 않고 고온 현미경으로 복굴절의 온도존성 등을 조사하여 그 존재가 확인되었다.

<그림-3>은 C<sub>3</sub>S의 각 변태의 분말 X선 회절 특징 pattern이며,<sup>5,6)</sup> <表-1>은 단결정법으로 구한 C<sub>3</sub>S 다형의 결정학적 성질이다.

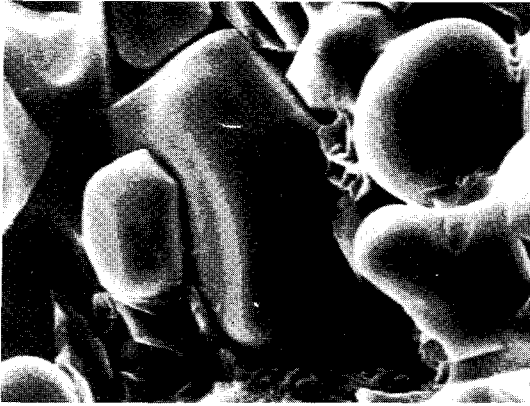


<그림-3> Portions of XRD powder patterns of (A) the T<sub>1</sub> modification of C<sub>3</sub>S at 605°C<sup>5)</sup>; (B), (C) and (D) clinkers containing, respectively, M<sub>3</sub>, (M<sub>3</sub> + M<sub>1</sub>) and M<sub>1</sub> alites<sup>6)</sup>

### Crystal data for the C<sub>3</sub>S polymorphs<sup>1)</sup>

<表-1>

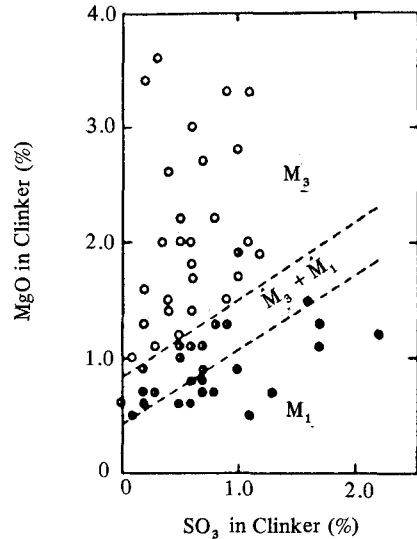
Polymorph	Space group	Cell parameters ( <i>a, b, c</i> in nm)						Z
		<i>a</i>	<i>b</i>	<i>c</i>	$\alpha$	$\beta$	$\gamma$	
Pseudostructure	R3m	0.70	—	2.50	—	—	120°	9
R (at 1200°C)	R3m	0.7135	—	2.5586	—	—	120°	9
R (stabilized with Sr)	R3m	0.70567	—	2.4974	—	—	120°	9
M <sub>3</sub> (stabilized with Mg)	Cm	3.3083	0.7027	1.8499	—	94.12°	—	36
T <sub>1</sub>	P1	1.167	1.424	1.372	105.5°	94.3°	90.0°	18



〈그림-4〉 SEM micrograph of clinker Angular alite and round belite crystals

Alite의 형태는 광학현미경으로 관찰하면 대략 6각 판상으로 보이나 주사전자현미경으로 자세히 관찰하면 측면은 경사진 두 종류의 면으로 되어 있음을 볼 수 있다. 〈그림-4〉는 alite의 주사전자현미경 사진이다.

Alite에는 MgO, Al<sub>2</sub>O<sub>3</sub>, Fe<sub>2</sub>O<sub>3</sub> 등 여러 불순 성분이 고용된다. MgO는 Mg<sup>2+</sup>가 Ca<sup>2+</sup>와 치환 고용되며 그 한계는 1,550°C에서 2%, 1,420°C에서 1.5%, 1,300°C에서 0.8%이다. Al<sub>2</sub>O<sub>3</sub>의 고용한계는 온도에



〈表-5〉 Dependence of the polymorphic modification of alite in production clinkers on the MgO and SO<sub>3</sub> contents of the clinker<sup>8)</sup>

무관하게 1%이며 Ca<sup>2+</sup>+Si<sup>4+</sup>에 대하여 2Al<sup>3+</sup>로, 3Si<sup>4+</sup>에 대하여 4Al<sup>3+</sup>의 형식으로 치환되면서 남은 한계의 Al<sup>3+</sup>는 8면체 빈자리에 고용된다. Fe<sub>2</sub>O<sub>3</sub>의 고용한

### Stabilization of Different Polymorphic Forms of Major Cement Minerals by Foreign Ions<sup>2)</sup>

〈表-2〉

C <sub>3</sub> S	C <sub>2</sub> S	C <sub>3</sub> A	Aluminoferrite phase
<p>T<sub>I</sub> (triclinic) C<sub>3</sub>S can be stabilized by Cr<sub>2</sub>O<sub>3</sub> (up to 1.4%); Fe<sub>2</sub>O<sub>3</sub> (0.9%); Ge<sub>2</sub>O<sub>3</sub> (0.9%); Al<sub>2</sub>O<sub>3</sub> (0.45%); MgO (0.55%); ZnO (0.8%); etc. T<sub>II</sub> (triclinic) C<sub>3</sub>S can be stabilized by Fe<sub>2</sub>O<sub>3</sub> (1.1%); Ge<sub>2</sub>O<sub>3</sub> (1.9%); Al<sub>2</sub>O<sub>3</sub> (1.0%); MgO (1.4%) and ZnO (1.8%). M<sub>I</sub> (monoclinic) C<sub>3</sub>S can be stabilized by MgO (2%) and ZnO (2.2%). M<sub>II</sub> (monoclinic) can be stabilized by ZnO (4.5%) and R by ZnO (5%).</p>	<p>α-phase by Ca<sub>3</sub>(PO<sub>4</sub>)<sub>2</sub> or CaNaPO<sub>4</sub> and also with alkali oxides and Al<sub>2</sub>O<sub>3</sub> or Fe<sub>2</sub>O<sub>3</sub>. α'-phase by SrO (20%) or BaO (20%) or K<sub>2</sub>O (4%). β-phase is stabilized by B<sub>2</sub>O<sub>3</sub> (≤0.5%) and by PO<sub>4</sub><sup>3-</sup>, VO<sub>4</sub><sup>3-</sup>, SO<sub>4</sub><sup>2-</sup>, CrO<sub>4</sub><sup>2-</sup>, etc., and also by alkalis, Na<sub>2</sub>O or K<sub>2</sub>O (0.17-0.27%). ν-phase is stable at room temperature but 0.5% Fe<sub>2</sub>O<sub>3</sub> addition makes it free from phase impurity.</p>	<p>Cubic C<sub>3</sub>A is obtained by the addition of Na<sub>2</sub>O (up to 1.9%). Orthorhombic C<sub>3</sub>A is obtained by the addition of (3.7 to 4.6%) Na<sub>2</sub>O. Tetragonal C<sub>3</sub>A is obtained by the addition of 5.3% Na<sub>2</sub>O. Pseudotetragonal C<sub>3</sub>A is obtained by the addition of K<sub>2</sub>O. Orthorhombic C<sub>3</sub>A can also be obtained by the addition of 4.1% SiO<sub>2</sub> + 2.9% K<sub>2</sub>O + 2.3 MgO + 1.0% Fe<sub>2</sub>O<sub>3</sub>. Monoclinic C<sub>3</sub>A - by the addition of Na<sub>2</sub>O (4.6-5.7%).</p>	<p>The ferrite phase is represented by C<sub>2</sub> (A, F) in which there is complete miscibility between C<sub>2</sub>F and hypothetical "C<sub>2</sub>A" up to C<sub>4</sub>AF. C<sub>4</sub>AF and C<sub>6</sub>A<sub>2</sub>F are the common compositions encountered in cement. The ferrite phase contains a high percentage of foreign ions as impurity.</p>

Typical compositions of phases in Portland cement clinkers (weight per cent)

〈表-3〉

	Na <sub>2</sub> O	MgO	Al <sub>2</sub> O <sub>3</sub>	SiO <sub>2</sub>	P <sub>2</sub> O <sub>5</sub>	SO <sub>3</sub>	K <sub>2</sub> O	CaO	TiO <sub>2</sub>	Mn <sub>2</sub> O <sub>3</sub>	Fe <sub>2</sub> O <sub>3</sub>
Alite	0.1	1.1	1.0	25.2	0.2	0.0	0.1	71.6	0.0	0.0	0.7
Belite	0.1	0.5	2.1	31.5	0.2	0.1	0.9	63.5	0.2	0.0	0.9
Aluminate (cubic)	1.0	1.4	31.3	3.7	0.0	0.0	0.7	56.6	0.2	0.0	5.1
(orthorhombic)	0.6	1.2	28.9	4.3	0.0	0.0	4.0	53.9	0.5	0.0	6.6
(low Fe)	0.4	1.0	33.8	4.6	0.0	0.0	0.5	58.1	0.6	0.0	1.0
Ferrite	0.1	3.0	21.9	3.6	0.0	0.0	0.2	47.5	1.6	0.7	21.4
Ferrite (low Al)	0.1	2.8	15.2	3.5	0.0	0.0	0.2	46.0	1.7	0.7	29.8

Crystal data for the dicalcium silicate polymorphs<sup>1)</sup>

〈表-4〉

Polymorph	Cell parameters (lengths in nm)				Space group	Z
	a	b	c	Angle		
α	0.5579		0.7150	γ = 120°	P31c	2
α' <sub>H</sub>	0.949 (3 x 0.548)	0.559	0.685		Pcmn	4
α' <sub>L</sub>	2.0871 (3 x 0.6957)	0.9496	0.5600		Pna2 <sub>1</sub>	12
β	0.5502	0.6745	0.9297	β = 94.59°	P2 <sub>1</sub> /n	4
γ	0.5081	1.1224	0.6778		Pbnm	4

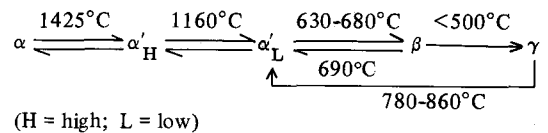
계는 1, 1%로 Ca<sup>2+</sup>+Si<sup>4+</sup>에 대하여 2Fe<sup>3+</sup>가 치환된다. Al<sub>2</sub>O<sub>3</sub>와 Fe<sub>2</sub>O<sub>3</sub>가 함께 고용할 때는 그 중 하나의 고용한계는 다른 것의 존재로 감소된다. C<sub>3</sub>S에 불순성분이 고용되면 고온 변태가 상온까지 지속된다. 〈表-2〉는 C<sub>3</sub>S의 안정화에 필요한 안정제의 양을 보여주고 있으며, 〈그림-5〉는 MgO와 SO<sub>3</sub>의 함량에 따른 alite의 다형 변형 의존성을 보여주고 있다.<sup>8)</sup> 또 SO<sub>3</sub> 양의 증가는 alite 결정의 이상성장을 일으키며<sup>9)</sup> 적당량 이상의 SO<sub>3</sub>는 alite의 생성을 억제한다. 순수한 C<sub>3</sub>S는 73.7%의 CaO와 26.3%의 SiO<sub>2</sub>로 되어 있으나 포틀랜드 시멘트 중의 alite에는 CaO와 SiO<sub>2</sub> 이외에도 MgO, Al<sub>2</sub>O<sub>3</sub>, Fe<sub>2</sub>O<sub>3</sub>, alkali 등 여러 불순물을 함유하고 있으며 주로 M<sub>1</sub>과 M<sub>3</sub>로 되어 있다. 〈表-3〉은 대표적인 조성을 나타낸 것이다.

Alite는 고온변태일수록 불규절이 크며 불규절의 크기를 비교함으로써 고온변태로부터의 전이를 예측할 수 있다. 크링카 중의 alite는 큰 결정일 경우

중심부는 초기의 저온에서 생성한 것이므로 주변부에 비하여 불규절이 적다. 고온 변태는 저온 변태보다 수화활성이 크다.

### 3. Belite

크링카 중에서 alite 다음으로 많은 양을 차지하고 있는 belite는 C<sub>2</sub>S를 주성분으로 한 고용체로서 alite처럼 다른 성분이 미량 고용되어 있다. 순수한 C<sub>2</sub>S에는 α, α' (고온형의 α'<sub>H</sub>, 저온형의 α'<sub>L</sub>), β 및 γ의 5개 변태가 알려져 있다.



〈그림-6〉은 C<sub>2</sub>S 다형의 결정구조를 나타낸 것으로<sup>10)</sup> 이 5개의 변태 중 α, α'<sub>H</sub>, α'<sub>L</sub>, β의 4개는

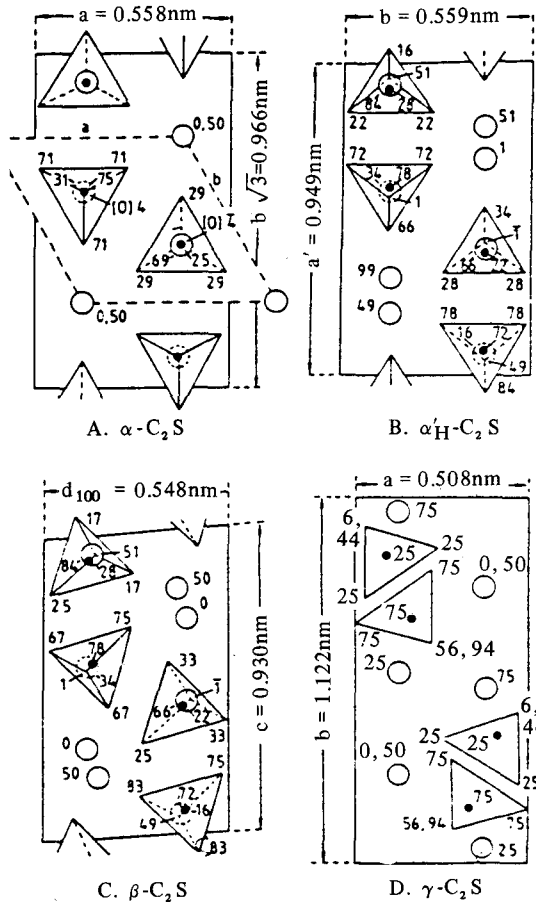
glaserite ( $\beta$ - $K_2SO_4$ ) 형의 구조로서  $SiO_4$  사면체의 배향의 변화와  $Ca^{2+}$  이온의 작은 이동으로  $\alpha$ - $C_2S$  구조로부터 약간 편기되어 있다. 8개의  $Ca^{2+}$  중 4

개는  $SiO_4$  사면체의 서로 반대쪽에 2개씩 있으며 나머지 4개는  $SiO_4$  사면체 사이에 있다.  $r$  형의 구조는 Olivine ( $Mg_2SiO_4$ ) 형 구조로서 6배위 위치에  $Ca^{2+}$ 가 있으며 상온에서 안정한 상태로 물과 반응하지 않는다.

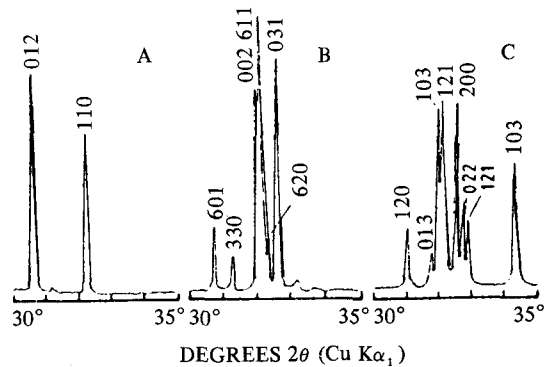
〈그림-7〉은  $C_2S$ 의 각 변태의 X선 회절 특징 pattern이며 〈表-4〉는 결정학적 성질이다.

고온형의  $\alpha$ 상을 급냉하면 대부분 저온 준안정형의  $\beta$ 상으로 변화하며 실제의 크랑카 중의 belite에는 0~40%의  $\alpha$ 상을 함유하기도 하나  $\alpha'$ 상이 상온까지 남는 경우는 없다.  $r'$ 상은 다른 것에 비하여 치밀하지 못하므로 냉각시  $r$ 로 변화할 때 체적 팽창을 일으켜 분말로 되는데 이 현상을 dusting이라 한다.

Belite는 현미경으로 관찰하면 구형으로 특성의 결정면을 보이지 않는다. 결정 내부에는 미세한 평행선이 나타나는데 이는 냉각시  $\alpha \rightarrow \alpha'$  전이에 의



〈그림-6〉 Crystal structures of  $C_2S$  polymorphs<sup>10</sup>. Large, open circles represent calcium atoms, small full circles, silicon atoms and triangles, tetrahedra of oxygen atoms.

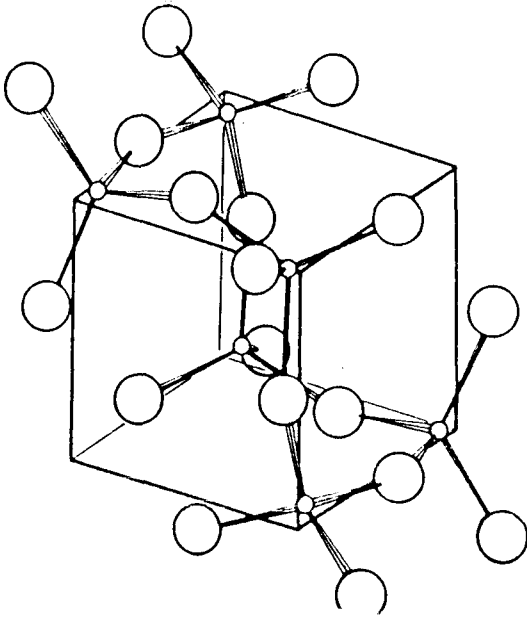


〈그림-7〉 Portions of XRD powder patterns of (A)  $\alpha$ - $C_2S$  at 1500°C, (B)  $\alpha'$ - $C_2S$  at 1000°C and (C)  $\beta$ - $C_2S$ <sup>11</sup>

Modifications of the  $C_3A$  structure, of general formula  $Na_{2x}Ca_{3-x}Al_2O_6$ <sup>1)</sup>

〈表-5〉

Approximate $Na_2O$ (%)	Compositional range $x$	Designation	Crystal system	Space group
0-1.0	0-0.04	$C_I$	Cubic	Pa3
1.0-2.4	0.04-0.10	$C_{II}$	Cubic	$P2_13$
2.4-3.7	0.10-0.16	$C_{II} + O$	-	-
3.7-4.6	0.16-0.20	O	Orthorhombic	Pbca
4.6-5.7	0.20-0.25	M	Monoclinic	$P2_1/a$



〈그림-8〉  $Al_6O_{18}$  ring in the structure of  $C_3A$ , showing the situations of the aluminium atoms near to the corners of a cube<sup>12)</sup>.

한 것으로  $\alpha'$ 상은  $\alpha$ 상에 비하여 불순물의 고용량이 적으므로  $\alpha$ 상에서  $\alpha'$ 상으로 될 때 이 불순물이  $\alpha$ 상과  $\alpha'$ 상의 경계선에 석출하여 나타난 것이다.

순수한  $C_2S$ 는 CaO 65.1%,  $SiO_2$  34.9%이나 크링카 중의 belite 중에는 4~6%의 다른 산화물이 고용되며 대부분이  $Al_2O_3$ 와  $Fe_2O_3$ 이다. 이들 고용 성분은 고온형의  $C_2S$ 를 안정화시키는 작용도 하고 있다.  $\beta \rightarrow \gamma$  전이를 막아 주는 효과가 있는 성분으로는  $Al_2O_3$ ,  $Fe_2O_3$ ,  $Na_2O$ ,  $B_2O_3$ ,  $BaO_2$ ,  $Cr_2O_3$ ,  $MnO_2$ ,  $P_2O_5$  등이 알려져 있다. 〈表-3〉에 대표적인 조성을 보여주고 있으며 〈表-2〉에 안정체의 양을 보여주고 있다.

Belite의 색은 냉각속도에 따라 변하는데 급냉일 경우는 무색이나 서냉으로 됨에 따라 황담색에서 갈색으로 진해진다. Belite는 저온변태가 복굴절이 크고 복굴절이 적은 쪽이 수화활성이 크며  $\gamma$ - $C_2S$ 는 상온에서도 거의 수화하지 않는다.

#### 4. 간극상

크링카의 온도가 1,300°C 이상이 되면 액상이 증

가한다. 이 액상의 주성분은 CaO,  $Al_2O_3$ ,  $Fe_2O_3$ 로 되어 있는데 이것을 생각하면 먼저 aluminate상인, 이어서 ferrite상이 alite와 belite 결정 사이에 석출하여 간극상을 형성한다. 또 크링카에는  $SiO_2$  등 다른 성분도 공존하고 있으므로 glass상이 될 수도 있다. 간극상의 결정은 아주 작아 현미경으로 식별하기는 힘들다.

##### 1) Aluminate상

Aluminate상은  $C_3A$ 를 주성분으로 alkali가 미량 고용되어 있으며 그 일부는 황산 alkali로서 존재하고 있다. 간극 물질 중에서도 alkali는 특히 aluminate상에 많이 고용되어  $C_3A$ 의 결정 구조를 변화시키고 있다.

순수한  $C_3A$ 는 cubic으로 다형은 존재하지 않으며  $Ca^{2+}$ 와  $Al_6O_{18}^{16-}$ 의 식을 갖는 6개의  $AlO_4$  사면체의 고리로 구성되어 있으며 이 고리들은 일그러져서 Al 원자들이 입방체의 6개 꼭지점 근처에 위치해 있다(〈그림-8〉).<sup>12)</sup>

$C_3A$ 는  $Ca^{2+} \rightleftharpoons 2Na^+$ 와 같은 치환 고용,  $Al^{3+}$ 가  $Fe^{3+}$ 와 치환 고용으로 사망정  $C_3A$ 로 전이한다.  $Ca^{2+} \rightleftharpoons 2Na^+$  치환으로  $Na_{2x}Ca_{3-x}Al_2O_6$ 로 되는데  $Na_2O$ 가 약 1%( $x=0.04$ )까지는 구조의 변화가 없이 치환되며 치환율이 커지면 구조가 바뀐다(〈表-5〉). 다른 치환체가 없으면 상한선은 5.7%이다. 그러나  $SiO_2$ 가 공존하면  $Ca^{2+} + Al^{3+} \rightleftharpoons Na^+ + Si^{4+}$ 의 치환도 안정화를 높여준다.  $C_3A$ 에 대한  $Fe_2O_3$ 의 고용은  $C_2A$ ,  $C_2F$ 를 잇는 조성이 연속적으로 변화하는 완전고용이다.

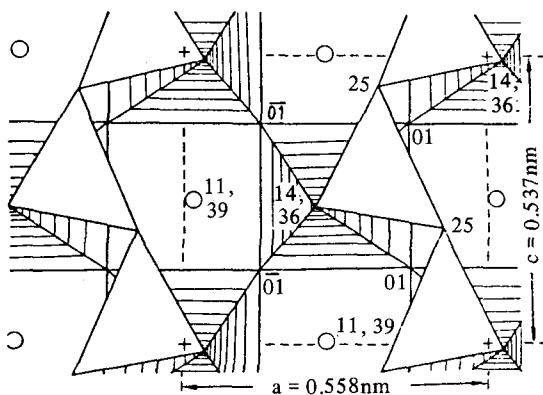
$C_3A$ 의 구조에는 O와 M형의 modification외에 proto  $C_3A$  modification이 있는데 O와 M은 상온에서는 준안정상이나 급냉으로 얻어지며 proto  $C_3A$ 는 구조가 흐트러진 결정성이 낮은 것으로 크링카 액상을 급냉이나 낮은 온도에서의 결정화에 의하여 준안정적으로 얻어지는데 치환량이 매우 많으며 예를 들면 Fe/Al의 비가 0.54나 된다.<sup>13)</sup>

순수한  $C_3A$ 는 CaO 62.3%,  $Al_2O_3$  37.7%로 되어 있는데 calcium과 aluminium의 상당량이 치환되어 불순 산화물량은 cubic에 대하여 약 13%이고 orthorhombic modification에 대하여 약 20%이다. 이에 상당하는  $Na_2O$ 의 양은 cubic 형에 대해 약 1%이고 orthorhombic 형에 대하여 2~4%이

Crystal data for ferrite phases in the series  $\text{Ca}_2(\text{Al}_x\text{Fe}_{1-x})_2\text{O}_5$ <sup>1)</sup>

〈表-6〉

x	Unit cell parameters (nm)			Space group	X-ray density (kg m <sup>-3</sup> )
	a	b	c		
0	0.55980	1.47687	0.54253	Pcmn	4026
0.285	0.5588	1.461	0.5380	Ibm2	3862
0.36	0.5583	1.458	0.5374	Ibm2	3812
0.50	0.55672	1.4521	0.5349	Ibm2	3732
1	0.541	1.445	0.523	Ibm2(?)	3480



〈그림-9〉 Crystal structure of  $\text{C}_4\text{AF}$  and showing calcium atoms (open circles),  $(\text{Al}, \text{Fe})\text{O}_4$  tetrahedra (triangles) and  $(\text{Fe}, \text{Al})\text{O}_6$  octahedra (hatched squares)<sup>14)</sup>.

다. 〈表-3〉은 대표적인 조성이다.

## 2) Ferrite 상

Ferrite상은  $\text{Ca}_2(\text{Al}_x\text{Fe}_{1-x})_2\text{O}_5$  ( $0 < x < 0.7$ )의 연속 고용체로서 보통  $\text{C}_4\text{AF}$ 로 나타내고 있는  $\text{C}_2\text{A}-\text{C}_2\text{F}$ 계 고용체이다. 크링카 중에서 ferrite상의 조성은 생성조건에 따라 다르나 대개는  $\text{C}_{10}\text{AF}_2 \sim \text{C}_{10}\text{A}_2\text{F}$  사이에 존재한다. 〈그림-9〉는  $0.33 < x < 0.7$  범위에서의 구조를 보이고 있는데<sup>14)</sup> perovskite와 유사한 꼭지점을 공유하는 팔면체의 층과 사면체 고리로 이루어지고 이들 다면체에 둘러싸인 큰 공간에 Ca가 있다. 〈表-6〉은 여러 조성의 결정의 물성을 보이고 있다.

크링카에서 ferrite 상의 조성은  $\text{C}_4\text{AF}$  (CaO 46.1%,  $\text{Al}_2\text{O}_3$  21%,  $\text{Fe}_2\text{O}_3$  32.9%)와 다르며 약 10%의 다른 산화물을 함유하고 있는데 Fe의 일부는  $\text{Mg}^{2+}$ 와 또  $\text{Si}^{4+}$ 와  $\text{Ti}^{4+}$ 도 치환되어 있다. 〈表-3〉은 대표적인 조성 예이다.

## 〈REFERENCES〉

- 1) H. F. W. Taylor, Cement Chemistry, Academic Press (1990).
- 2) P. Barnes, Structure and Performance of Cement, Appl. Sci. Publishers (1983).
- 3) R. Kondo, S. H. Choi, 5th Inter. Symp. Chem. Cement (1986).
- 4) F. Nishi, Y. Takeuchi, Zeit. Krist. **168**, 197 (1984).
- 5) M. Regourd, Rev. Mater. Constr. (620) 167 (1967).
- 6) I. Maki, K. Kato, Cem. Conc. Res. **12**, 93 (1982).
- 7) S. N. Ghosh, Advances in Cement Technology, 291 Pergamon Press (1983).
- 8) I. Maki, K. Goto, Cem. Conc. Res. **12**, 301 (1982).
- 9) K. S. Han, S. H. Choi, S. B. Cho, S. Y. Hong, J. H. Kim, 2nd NCB Inter. Seminar Cem. Build. Material (1989).
- 10) S. Udagawa, K. Urabe, T. Yano, M. Natsume, Yogyo Kyokai Shi, **88**, 285 (1980).
- 11) M. Regourd, A. Guinier, 6th Inter. Cong. Chem. Cement (1974).
- 12) P. Mondal, J. W. Jeffery, Acta, Cryst. **B31**, 689 (1975).
- 13) K. S. Han, J. A. Gard, F. P. Glasser, Cem. Conc. Res. **11**, 79 (1981).
- 14) A. A. Colville, S. Geller, Acta. Cryst. **B27**, 2311 (1971).